

Новые данные о стратиграфии и литологии миоценовых отложений Северо-Абшеронской складчатой зоны западного борта Южного Каспия

Ç.M. Xalifa-zadə, d.ğ.-m.ñ.,

С.Я. Гамашаева Мурадова

Азербайджанский государственный университет нефти и промышленности
e-mail: cingiz1931@gmail.com

Ключевые слова: сармат, региональные разрывы, мономиктовые песчаники, гидрослюдисто-каолинитовые глины, чокрак, палеогеографические критерии, мактровая фауна, глинистые известняки, внутриформационные разрывы, аллювиально-дельтовая фация.

DOI.10.37474/0365-8554/2020-11-13-20

Çənubi Kəzərin qərb börtündə Şimali-Abşeron qınsıqlıq zonasının mio-pliosen çöküntülərinin stratigrafiyası və litologiyası haqqında yeni məlumatlar

Advanced data on stratigraphy and lithology of Mio-Pliocene sediments of North Absheron folded zone of western border of South Caspian

Ç.M. Xalifa-zadə, g.-m.e.d., S.Y. Həməşayeva Muradova
Azərbaycan Dövlət Neft və Sənaye Universiteti

Ch.M. Khalifa-zade, Dr. in Geol.-Min. Sc., S.Ya. Gamashayeva Muradova
Azerbaijan State University of Oil and Industry

Açar sözlər: Sarmat, regional yuyulma, monomikt qumdaşları, hidromikali-kaolinli gillər, Çokrak, paleogeografiya kriteri, maktra faunası, gilli əhəngdaşları, formasıyadaxili yuyulma, allüvial-delta fasiyası.

Keywords: Sarmatian, regional washaway, monomict sandstones, hydromicaceous-kaolinite clays, Chokrak, Paleogeographic criteria, mactra fauna, cement stones, interstratified washaways, fluvial-distributary facies.

Şimali Abşeron qınsıqlıq zonası şimaldan Turan plitəsi ilə təmasda olduğu üçün mürəkkəb quruluşla malikdir və lokal strukturlar yastı tavan və azenişli qanadlara malik olduğu üçün platforma xarakterli daşıyır. Regionun qərb hissəsində Mezozoy qınsıqlıq sisteminin hipsometrik səviyyəsi yer səthinə yaxın olduğundan Tabaşir-Paleogen və Miopliosen kəsilləri regional və formasıyadaxili yuyulma və fasiyaların geniş yayılması ilə xarakterizə olunur. Əvvəlki tədqiqatçılar mədən-geofiziki məlumatlar əsasında göstərirlər ki, regionun qərb strukturlarında miopliosen bütün stratigrafik bölmələrin həcmində təmsil olunmuşdur. Biz Miosendə tapılmış "mactra" faunası və litoloji tərkib və paleogeografiya kriterialər əsasında burada Miopliosenin kəsilişini tam dəqiqləşdirmişik. Belə ki, Qərbi-Abşeron strukturunda Məhsuldar Qatın alt hissəsi kəsilişdə müşahidə edilmişdir. MQ-nin stratigrafik vahidləri Balaxanı lay dəstəsi istisna olmaq şərtilə, Ağcagil transqressiyası və müasir denudasiya nəticəsində tamamilə yuyulmuşdur. Əldə edilmiş mactra faunası əsasında Miosenin üst hissəsi denudasiyaya məruz qaldığı təsdiq olunur. Miosenin kəsilişlərində isə yalnız Sarmat və Çokrak mərtəbələrinin iştirakı sübut edilmişdir. Paleogeografiya tədqiqatları göstərdi ki, Məhsuldar Qatın alt çöbəsi əsasında Şimali Abşeron qınsıqlıq zonasının qərb hissəsi aşınma zonası olmuşdur. Mineraloji-petrografik axtarışlar göstərdi ki, MQ və Miosen çöküntüləri rənglərinə görə bir-birindən kəskin fərqlənir. Burada Balaxanı lay dəstəsi çöküntülərinin monomikt kvarts qumdaşlarının tərkibində olduğu halda, Miosen qumdaşları, polimikt mineraloji tərkibə malikdir. Maktra faunasının olması göstərir ki, burada Sarmat çöküntüləri geniş təmsil olunmuşdur.

North Absheron folded zone is closely located to Turan plate and separated from Turkmenbashi-Predcaucasus deep fault. However, North Absheron folded zone has a complicated geological structure; local structures here are of platform character, unlike in the west and north-west part of the region, where formation of the sediments of Mio-Pliocene and Cretaceous-Paleogene stages became significantly complicated due to the high hypsometric state of the surface of Mesozoic folding and the increase of regional and interstratified washaways and brachis as well. The paper specifies the stratigraphy of Mio-Pliocene stages within the west part of the region in the structures of Absheron group, Agburun-deniz and İki-gardash, marking the absence of the sediments of lower part of Productive Series. Due to the new findings of mactra fauna, the washaway of significant part of the Upper Miocene (Pontian, Miotice and Upper Sarmatian) has been justified. According to the fauna remains and the mineralogical-petrographic composition of Absheron group rocks, only Sarmatian and Chokrak sediments from the Miocene stage outcrop in the sections of deep wells, which unconformable occur in the aleurite-clay series of Maikop stage.

The Lower Pliocene in West Absheron structure appear only in a short volume – Balakhary suite occurring in the monomict quartz sandstones of fluvial-distributary origin. Grey Miocene series appear with the alternation of units of polymict sandstones and grey hydromicaceous-kaolinite clay with interlayers of cement stones. Maikop series appear in short extent and occur in polymict aleurites and brown-grey clays including calcite-siderite concretion.

Северо-Абшеронская складчатая зона занимает северную часть Абшероно-Прибалханского тектонического пояса и разобщена с последним узкой Пираллахы-Кергезской синклиналией складчатостью (рис. 1). Эта зона занимает пограничную с Туранской плитой территорию, имеет геологическое строение, сходное с платформенными структурами и характеризуется наличием значительного нефтегазоносного потенциала, связанного как с продуктивной толщей (ПТ), так и миоценом, нижним мелом и верхнеюрскими оксфордскими рифогенными структурами.



Рис. 1. Схема расположения локальных структур в пределах Северо-Абшеронской складчатой зоны и Абшеронского архипелага (масштаб 1:10000)

Миоценовые отложения условно выделены в западной части одноименной складчатости в структурах Абшеронской группы и Гопадаш, Агбурун-дениз и Абшерон купеци банка без фаунистических и литологических доказательств; только по промысловой геофизике или же просто по сравнению с миоценовыми отложениями юго-западного Абшерона. Нами изучены разрезы глубоких скважин по миоценовым отложениям в структурах Абшеронской группы (см. рис. 1). Здесь ПТ в основном представлена верхним отделом. Отмечается в разрезах лишь балаханская свита, более молодые отложения ПТ частично размыты знаменитой ачакгильской трансгрессией и современной денудацией.

При стратификации миоплиоцена мы использовали скудные фаунистические остатки, петрографические коррелятивы и палеогеографические критерии продуктивного бассейна,

которые обстоятельно изучены нами в течение более чем 15 лет и результаты были опубликованы в многочисленных статьях [1–4]. В данном случае нами изучен керновой материал площадей Шимали Абшерон (скв. 2, 4) и Гарби Абшерон (скв. 16, 43, 51).

При тщательном изучении кернового материала здесь на глубине 1329–1335 м скв. 16 в песчаниках и алевролитах обнаружена пещинициевая фауна из семейства мактридов, которые определены нами как *Macra casaria* sp., и другой вид, который имеет радиально-ребристую створку нами определен как *Macra fibriana* sp., установлены кардиниды из семейства пектенидов – *pecten* sp. Мактровая фауна обнаружена в биоморфном известняке в интервале глубин 1335–1350 м скв. 43. Также обнаружена миоценовая фауна в интервале глубин 1905–1908 м скв. 2 площади Шимали Абшерон. Здесь фауна из ребристых пещинициев, которая нами определена как *Macra fibriana* sp. В керновом материале мактровая фауна из площадей Гарби Абшерон и Шимали Абшерон характеризует сармат верхнего миоцена, ибо мактровые слон очень характерны для сармата. Ниже дается более подробная характеристика разрезов миоплиоцена по структурам Шимали Абшерон (скв. 2, 4) и Гарби Абшерон (скв. 16, 43, 51).

Разрез верхнего миоцена (сармат) в пределах структуры Шимали Абшерон интервал глубин 1800–2152 м темно-серые алевролиты глины с плитчатой отдельностью. По степени уплотнения и внешним признакам они заметно отличаются от глины ПТ. Глинистая толща местами содержит прослон и пласты крупнозернистого алевролита и мелкозернистого песчаника, которые слабо уплотнены в интервале глубин 1903–1908 (скв. 2). Слабо алевролитоватая серая глина содержит остатки ребристых пещинициев, относящихся к семейству мактридов, которые отчетливо датируют возраст описываемых глин как сарматских. В этом интервале в глинах установлены известковые галечки размером 1,5 см. Серые и темно-серые сарматские глины имеют как горизонтальный, так и волнистую текстуру, угол падения слоев 40–45° с признаками смятия и зеркала скопления.

Вещественный состав песчано-алевролитовых и глинистых пород миоплиоцена Абшеронской группы структур

Обломочные и глинистые породы отобраны из миоплиоцена структур Шимали Абшерон и

Гарби Абшерон по скв. 16, 39, 43 в интервале 703–1553 м были изучены петрографическими и рентгенодифрактометрическими методами. В общей сложности были изучены 25 проб пород, которые преимущественно отобраны из скв. 16 структуры Гарби Абшерон. Вещественный состав пород ПТ, как было указано выше, в пределах скв. 16, состоящей из балаханской свиты, составляет около 700 м (интервал 703–1329 м). Отобранные нами из четырех интервалов песчаные породы тщательно изучены микроскопическими методами и результаты анализов приведены в табл. 1.

Таблица 1

Минералы, %	Глубина отбора проб			
	787–795	850–855	1250–1270	1329–1330
Кварц	85,0	80,0	70,0	70,0
Ортоклаз-микроклин	5,0	6,0	10,0	10,0
Плагиоклазы	-	-	-	-
Обломки кремнистых пород	-	-	5,0	10,0
Обломки карбонатных пород	-	8,0	-	5,0
Обломки глинистых пород	10,0	-	14,0	5,0
Обломки эффузивов	-	7,0	1,0	-
Глаукофит	Ед. зерна	-	-	-
Мусковит	-	-	-	-
Хлорит	-	Ед. зерна	-	-
Сумма	100,0	101,0	100,0	100,0

Эти породы представлены мелкозернистыми и среднезернистыми олигомиктовыми песчаниками светло-серого цвета. Редко встречаются крупнозернистые алевролиты серого цвета с включением галек кварцита. Прежде всего, для обломочных пород балаханской свиты северо-западной части Абшеронского п-ова характерен мономинеральный или олигомиктовый состав песчано-алевролитов пород. Это не случайно и связано с питанием дельты Палеоволги, где обломочные частицы 70–90 % сложены кварцем (см. табл. 1). Из полевых шпатов были установлены К-вые полевые шпаты (ортоклаз и микроклин), которые составляют 5–10 % содержания обломочных частей. Зерна плагиноклазов не были установлены. Обломки различных пород (граувакковый материал) составляют 20–30 % обломочного концентрата. Среди обломков пород в основном установлены обломки кремнистых пород, реже встречаются обломки кварцитов и карбонатных пород. Цементирующее вещество, также установ-

лено в небольшом количестве (5–15 %), которое представлено глинистыми частицами. Карбонат кальция носит вторичный характер. Это также неслучайно, поскольку обломочный концентрат формировался в пресноводных условиях в дельте Палеоволги или надводной части дельты в аллювиях (рис. 2).

Структура цемента поровая и контактно-поровая. Зерна кварца хорошо окатаны и умеренно отсортированы. Среди зерен кварца наблюдаются трещиноватые и катализированные разновидности с волнистым погасением. Эти зерна, по-видимому, образовались за счет де-

нудации типичных метаморфических пород русской платформы.

Зерна кварца с включением газов и жидкостей не были установлены. В целом изученные нами песчаники и пески относятся к семейству олигомиктовых песчаников, которые образовались в дельтах и протоках дельты и надводной части дельты Палеоволги (см. рис. 2).

Минералогический состав песчано-алевролитовых пород миоцена Северо-Абшеронской группы структур

Обломочные породы миоцена в основном были изучены по материалам скв. 16 структуры Гарби Абшерон и частично выявлены в исследовании кернового материала площади Шимали Абшерон. Прежде всего в песчано-алевролитовых породах содержание кварца сильно занижено (табл. 2). Причем среди зерен кварца полностью отсутствуют представители метаморфических пород, кроме того зерна кварца слабо окатаны и цементированы карбонатным цементом. Среднее значение коэф-

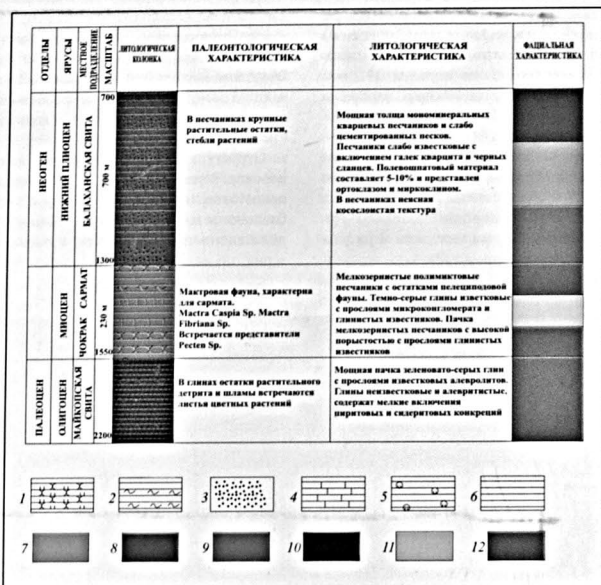


Рис. 2. Разрез миоценова площади Гарби Абшерон, скв. 16:

1 – мелкозернистые песчаники с остатками пелелипод; 2 – алевриты и алевриты; 3 – массивные известковые среднеразмерные песчаники; 4 – известняки и глинистые известняки; 5 – глины; 6 – тиритовые и карбонатные конкреции; 7 – дельта; 8 – аллювиальная фашия; 9 – фашия дельтовых притоков; 10 – сублиторальная фашия; 11 – элиперитовая фашия; 12 – интериоритовая фашия

коэффициента отсортированности составляет $S_o = 2.8$.

Вторая характерная особенность обломочного концентрата миоцена – значительное участие в составе пород К-свех и Na-Са-свех

полевых шпатов. Содержание плагиоклазов достигает 10–12% (см. табл. 2).

В составе обломков пород доминируют зерна глинистых и карбонатных пород.

Таблица 2

Минералы, %	Глубина отбора проб				
	1329–1335	1345–1350	1350–1587	1550–2000	2050–2600
Кварц	35.0	40.0	41.0	45.0	30.0
Ортоклаз-микрочлин	15.0	13.0	20.0	11.0	20.0
Плагиоклазы	12.0	5.0	10.0	9.0	10.0
Обломки кремнистых пород	8.0	10.0	15.0	15.0	13.0
Обломки карбонатных пород	12.0	10.0	10.0	8.0	12.0
Обломки глинистых пород	15.0	15.0	3.0	12.0	10.0
Мусковит	1.0	3.0	-	-	3
Хлорит	2.0	2.0	-	-	2
Сумма	100.0	98.0	99.0	100.0	100.0

Все эти признаки указывают на то, что микроскопически нельзя спутать миоценовые обломочные породы с таковыми нижнего плиоцена.

Незначительная примесь мусковита и хлорита свидетельствует о том, что размывались глинистые сланцы нижней и средней юры Юго-Восточного Кавказа [5].

Заслуживает особого внимания изучение микроконгломератов из интервала 1345–1350 м площади Гарби Абшерон. Этот микроконгломерат фактически состоит на 70% из обломков нижнемеловых известняков, поскольку они содержат многочисленные камеры планктонных фораминифер из семейства глобигеринид, которые имеют широкое распространение в верхнемеловых отложениях Юго-Восточного Кавказа.

Минералогический состав глинистых пород миоцена Северо-Абшеронской складчатой зоны (площадь Гарби Абшерон)

Нормальные глинистые пачки в разрезе миоцена появляются с глубины 1500 м, которые условно могут быть отнесены к нижней части сармата; глины серые, темно-серые с песчано-алевритовой примесью, они в той или иной степени обогащены тонкозернистым, карбонатом кальция. Эти глины с сероцветной, темноватой окраской резко отличаются от пестроцветных глин балаханской свиты. Далее в чокраке доминируют прослои глинистых известняков и мергелей. Увеличение карбонатных прослоев в чокраке не случайно, а связано с потеплением климатических условий в чокракских бассейнах. Это легко подтверждается распространением доломитовых пластов и линз в чокракских отложениях Гобустана. Разрез миоцена в структуре Шимали Абшерон вскрыт на глубине 1700 м и плохо

ставляется с разрезом миоцена площади Гарби Абшерон. Как было отмечено выше, мы имеем дело с различными глубинами постмиоценовой эрозии. Допускаем, что на площади Гарби Абшерон верхней миоцено, вернее сарматские отложения в значительной степени были уничтожены послемiocеновой денудацией (см. рис. 2). А на востоке на площади Шимали Абшерон, наоборот, сарматские отложения почти ушли от размыва и представляли темно-серыми глинами с прослоями песчано-алевритовых пород, где коэффициент глинистости верхнемiocенового разреза достигает 0.8.

Коллоидная фракция глинистых пород миоцена площади Гарби Абшерон в количестве 11 проб подвергнута дифрактометрическому исследованию, результаты анализов приведены в табл. 3.

Прежде всего, в миоценовых глинах бросается в глаза незначительное содержание разбухающих компонентов – глинистых минералов – смектитов. Судя по дифрактограммам смектитовые минералы идентифицированы по базальным рефлексам от плоскости 001 со значением $d_{001} = 1.25–1.45$ нм, которые после насыщения проб этиленгликолем незначительно перемещаются в область малых углов отражения и значение становится 1.63–1.65 нм. После прокалывания изучаемых проб до 600 °C базальные рефлексы смектитов приобретают значение 0.995–0.998 нм. В прокаленных пробах на дифрактограммах характерные рефлексы каолинита со значением $d_{001} = 0.715$ нм и $d_{002} = 0.356$ нм полностью исчезают.

В миоценовых глинах гидрoслюда (иллит) является главенствующим глинистым минералом. Судя по полиморфным модификациям гидрoслюды являются аллотипными и при-

Таблица 3

Минералы, %	Гидрoслюда иллит	Смектиты	Хлорит	Каолинит
Интервалы отбора проб				
1577–1582	65.0	5.0	-	30.0
1494–1510	56.0	14.0	12.0	16.0
1577–1582	45.0	26.0	7.0	22.0
1582–1595	48.0	14.0	3.0	35.0
1513–1515	40.0	18.0	7.0	35.0
1527–1532	58.0	27.0	-	15.0
1582–1587	28.0	21	10	41.0
1583–1588	59.0	8.0	8.0	25.0
1527–1537	67.0	15.0	6.0	12.0
1490–1495	47.0	5.0	2.0	46.0
1499–1504	54.0	15.0	1.0	30.0

надлежат к высокотермальной модификации с индексом 2М. Содержание каолинита не превышает 35 % и также является аллотигенным. Неблагоприятные климатические условия верхнего миоцена отсутствие достаточной важности не дали возможность образования каолинита и смектитов на древней коре выветривания. По этой причине миоценовые глинистые покровы характеризуются меньшей пластичностью и худшим экранующим свойством.

Поэтому допускаем, что в песчаных резервуарах миоцена в пределах Северо-Абшеронской складчатой зоны образование газовых залежей маловероятно; а нефтяные месторождения могут быть с умеренным размером газовых шапок.

Таким образом наши исследования пока-

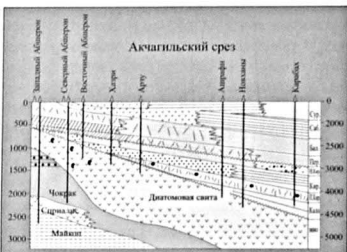


Рис. 3. Литостратиграфическое и фаунально-генетическое строение миоценовых отложений в пределах Северо-Абшеронской складчатой зоны

зали, что в Абшеронской группе структур обнаружена лишь верхняя часть ПТ. Причем на площади Гарби Абшерон, где глубина моря 10–12 м балаханская свита выходит на дневную поверхность, остальная часть верхнего отдела ПТ размыта современным денудационным срезом. Здесь на глубине 350 м (скв. 43) балаханская свита лежит на размытой поверхности миоцена, судя по остаткам пелещипод последние фактически лежит на поверхности сармата верхнего миоцена. На крыльях структуры Гарби Абшерон, судя по фаунистическим остаткам миоцена, мы допускаем только залегание балаханской свиты на размытую поверхность миоцена. А миоцен здесь представлен сарматом и чокракскими ярусами (рис. 3). В структурах Два брата, Агбурун-дениз и Гарби

Абшерон глубокими скважинами вскрыта майкопская свита олигоцена в сокращенном объеме и представлена алевроито-глинистыми толщами с включением сидеритовых конкреций. Последняя залегают в указанных структурах на размытой поверхности нижних горизонтов верхнего мела [6]. Наши стратиграфические построения в пределах Абшеронской группы структур Два брата и Агбурун-дениз хорошо увязываются с региональными геологическими построениями. В структурах Абшеронской группы Северо-Абшеронской складчатой зоны в разрезах глубоких скважин выделены некоторыми исследователями все подразделения палеогена и миоцена и нижнего миоцена [6, 7]. Это не может быть достоверным.

Во-первых, выделенные Н.А. Меджидовым, М.Н. Юсифовым и другими исследователями [6] в разрезах глубоких скважин структур Два брата, Агбурун-дениз в Абшеронской группе структур на основании геофизических исследований скважин (ГИС) всех стратиграфических подразделений ПТ, мягко говоря, являются самообманом. Как было указано выше наши палеонтологические данные по сармату такое стратиграфическое деление полностью отвергают. Во-вторых – палеогеографические критерии полностью отрицают участие нижнего отдела ПТ в разрезах указанных структур, поскольку зона развития структур Два брата, Агбурун-дениз и Абшеронской группы структур в век нижнего отдела ПТ была область денудации Палеоэола.

В наших ранних статьях ясно указано, что ПТ имеет трансгрессивное строение. Она расширила свою границу постепенно в течение двух миллионов лет. Самое крупное расширение соответствует времени образования балаханской свиты. Тогда продуктивный бассейн расширил свою границу до реки Гирдыманчай. А в сабунчиюское время граница продуктивного бассейна достигает до г. Агдаш и реки Туранчай. Это легко доказываются трансгрессивными залегающими подразделениями нижнего отдела ПТ на понт в центральном и западном Абшероне и Нижне-Куринской впадине. Для ясности заметим, что нижний отдел ПТ полностью представлен в пос. Галя и Гум адасы. В западном направлении нижние стратиграфические подразделения постепенно выклиниваются. Как например, в разрезе Кирмаки дереси уже подкирмакская (ПК), а в Джорате кирмакская свита (КС) залегают на понтические

отложения, у реки Сумгайыт надкирмакская песчаная свита (НКПС) лежит на размытой поверхности понта. Даже 50 км в западном направлении в центральном Гобустане в раз. Рагим, песчано-глинистая толща балаханской свиты с большим стратиграфическим несогласием залегают на понтические отложения. В свое время в пределах Абшеронского п-ова А.Г. Коссовская указала в западном направлении несогласное залегание подразделения нижнего отдела ПТ на понтические отложения [8]. Тогда она фиксировала только факты и не сделала палеогеографического вывода.

Отмеченные стратиграфические явления отчетливо наблюдаются и в Нижнекуринской впадине.

Здесь на окраине восточных структур – Нефтяла, Пирсаат, можно сказать, разрезы полностью представлены всеми подразделениями нижнего отдела ПТ. В западном направлении в Бяндоване ПК уже лежит на понте, в Калмассе КС залегают на понте, в Мишовдаге, Кюрюваде НКПС лежит на понтических отложениях. В Келамеддине, Малой и Большой Хараме XX горизонт, аналог свиты перерыва, большим стратиграфическим несогласием залегают на понтических отложениях. Далее на запад на площади Падар и структурах Среднекуринской впадины (Саатлы, Джарлы и Сорсор) в сокращенной мощности сабунчиюская свита трансгрессивно лежит на сармате.

Все вышесказанное стратиграфические явления, установленные в нижнем отделе ПТ, неопровержимо свидетельствуют о следующем: ПТ формировалась в напряженном тектоническом режиме, имеет трансгресси-

ное, циклическое строение [9, 10]. ПТ состоит из 4-х макро и мезо циклов и за время её формирования в течение 2·10⁶ лет произошло 4 трансгрессии, из них три произошли в век нижнего отдела, а в верхнем отделе действовали две мощные регрессии во время формирования свиты перерыва и сураханской свиты и одна гигантская трансгрессия произошла в век образования балаханской и сабунчиюской свит [1, 2, 4]. Во время гигантской балахана-сабунчиюской трансгрессии уровень ПТ поднялся примерно на 600 м и бассейн расширил свою границу на запад, восток и на север в три раза. Уже в сабунчиюский век ширина продуктивного бассейна составляла 600–650 км. Граница бассейна на западе достигала Алжигангача (Восточная граница Алжинюра), а на востоке до Западно-Туркменской впадины с объемом воды ориентировочно 75–76 км³.

Из вышесказанного некоторыми исследователями палеогеографических и циклических построений в западных структурах Северо-Абшеронской складчатой зоны невозможно было выделить все подразделения нижнего отдела ПТ [6, 7].

Все это выполнено на основании ГИС сопоставления со стратиграфическими разрезами ПТ месторождений Нефть Дашлары и Бибиюбат. Стратиграфические деления миоцена на структурах западной части Северо-Абшеронской складчатой зоны должны быть пересмотрены в свете новых палеонтологических, литологических, палеогеографических построений, изложенных в данной статье.

Список литературы

1. Халифзаде Ч.М., Гашимов С.Ф. Фаунально-палеогеографические условия образования продуктивной толщи в пределах западного борта Южного Каспия // Азербайджанское нефтяное хозяйство, 2018, № 9, с. 25-33.
2. Халифзаде Ч.М., Гашимов С.Ф. Палеогеография раннего миоцена в пределах западного борта Южного Каспия и прилегающих к нему регионов Азербайджана // Горно-геологический журнал, 2017, № 3-4, с. 36-43.
3. Халифзаде Ч.М. Новые данные о температуре мезокайнозойских и антропогенных морей Южно-Каспийского бассейна и Восточного Азербайджана // Азербайджанское нефтяное хозяйство, 2015, № 4, с. 3-7.
4. Халифзаде Ч.М. и др. Литолого-петрографические и фаунально-генетические критерии для определения объема, генезиса и границы распространения абшеронской фауны в пределах западного борта Южного Каспия // Азербайджанское нефтяное хозяйство, 2018, № 11, с. 5-11.
5. Халифзаде Ч.М. и др. Палеогеографическая модель продуктивной толщи западного борта Южного Каспия // Азербайджанское нефтяное хозяйство, 2009, № 5, с. 9-15.
6. Mejidov N.A., Yusifov M.H., Onorov E.K., Seyidov M.M., Mammadova M.A. Yeni geoloji-geofiziki məlumatlar əsasında Aqburun-dəniz strukturunun tektonik quruluşunun dəqiqləşdirilməsi, neft-qazlıqlı perspektivliyi və Mezozoy çöküntülərinin açılması perspektivliyi // Azərbaycan neft təsərrüfatı, 2015, № 3, s. 3-5.
7. Yusubov N.P., Guliyev G.A., Borovikov A.Y., Ahmedov R.I. Deep structure of the Northern Absheron uplift zone's Sedimentary cover and it's oil and gas bearing prospects, based on Seismic data (as matter of discussion) // Azerbaijan oil industry, 2017, № 2, pp. 13-19.

8. Коссовская А.Г. Литолого-минералогическая характеристика и условия образования глин продуктивной толщи Азербайджана. – М.: Изд. АН СССР, 1954, 100 с.

9. Khalifazade Ch.M. и др. Структурно-фациальная характеристика нижнеплиоценового рифт-грабенного бассейна ЮКВ // Новости БГУ, 2006, № 3, с. 113-118.

10. Khalifazadeh Ch.M., Mursalov V.A. et al. Paleogeography and types of the Pliocene basins within South Caspian trough, EAGE international conference of petroleum geology and the hydrocarbon potential of the Caspian and Black Sea Regions prospectings, 2008, pp. 165-168.

References

1. Khalifazade Ch.M., Gashimov S.F. Fatsial'no-paleogeographichekские usloviya obrazovaniya produktivnoy tolshchi v predelakh zapadnogo borta Yuzhnogo Kaspiya // Azerbaidzhanskoe neftyanoe khozaistvo, 2018, No 9, s. 25-33.

2. Khalifazade Ch.M., Gashimov S.F. Paleogeografiya rannego pliotensa v predelakh zapadnogo borta Yuzhnogo Kaspiya i prilgayushchikh k nemu regionov Azerbaidzhana // Gorno-geologicheskii zhurnal, 2017, No 3-4, s. 36-43.

3. Khalifazade Ch.M. Novye dannye o temperature mezokaynozoykskikh i antropogenovykh morey Yuzhno-Kaspiyskogo basseina i Vostochnogo Azerbaidzhana // Azerbaidzhanskoe neftyanoe khozaistvo, 2015, No 4, s. 3-7.

4. Khalifazade Ch.M. i dr. Litologo-petrographicheskije i fatsial'no-geneticheskije kriterii dlya opredeleniya ob'yema, genezisa i granitsy rasprostraneniya absheronской fatsii v predelakh zapadnogo borta Yuzhnogo Kaspiya // Azerbaidzhanskoe neftyanoe khozaistvo, 2018, No 11, s. 5-11.

5. Khalifazade Ch.M. i dr. Paleogeographicheskaya model produktivnoy tolshchi zapadnogo borta Yuzhnogo Kaspiya // Azerbaidzhanskoe neftyanoe khozaistvo, 2009, No 5, s. 9-15.

6. Mejidov N.A., Yusifov M.H., Omerov A.K., Seyidov M.M., Memmedova M.A. Yeni geolozhi-geofiziki melumatlar esasynda Agburun-deniz strukturunun tektonik gurulushunun degishdirilmesi, neft-gazlylyg perspektivliyi ve Mezozoy chokuntulerinin achylması perspektivliyi // Azerbaijan neft teserrufaty, 2015, No 3, s. 3-5.

7. Yusubov N.P., Guliyev G.A., Borovikov A.Y., Ahmedov R.I. Deep structure of the Nothern Absheron uplift zon's Sedimentary cover and it's oil and gas bearing prospects, based on Seismic data (as matter of discussion) // Azerbaijan oil industry, 2017, No 2, pp. 13-19.

8. Kossovskaya A.G. Litologo-mineralogicheskaya kharakteristika i usloviya obrazovaniya glin produktivnoy tolshchi Azerbaidzhana. – М.: Izd. AN SSSR, 1954, 100 s.

9. Khalifazade Ch.M. i dr. Strukturno-fatsial' naya kharakteristika nizhnepliotenovogo rift-grabennogo basseina UKV // Novosti BGU, 2006, No 3, s. 113-118.

10. Khalifazadeh Ch.M., Mursalov V.A. et al. Paleogeography and types of the Pliocene basins within South Caspian trough / EAGE international conference on petroleum geology and the hydrocarbon potential of the Caspian and Black Sea Regions prospectings, 2008, pp. 165-168.